

DOĞU KARADENİZ BÖLGESİ EOSEN VOLKANİKLERİNİN PALEOMAĞNETİZMASI

PALEOMAGNETISM OF THE EOCENE VOLCANIC ROCK IN THE EASTERN BLACK SEA REGION

Niyazi BAYDEMİR

I. Ü. Mühendislik Fakültesi, Jeofizik Mühendisliği Bölümü, İstanbul

ÖZET: Kuzey Anadolu transform fayının (KATF) kuzeyinde bulunan Ordu İlinin Mesudiye bölgесinden 124, fayın güneyinde bulunan Sivas İlinin İmranlı bölgесinden 40 olmak üzere toplam 164 el örneği toplanarak yapılan bu paleomağnetik çalışmada örneklerin tümü Eosen yaşı mağmatik kayaçlarından alınmıştır.

El örneklerinden karot alınarak elde edilen silindir şeklindeki ölçü örneklerinin ikincil mıknatıslanmaları alternatif manyetik alanla yok edilmiştir. Ölçü örneklerinin manyetik durayılığı ve ikincil mıknatıslanmalarından temizlenen moment değişim eğrilerinden, Wulff ve Ortogonal projeksiyondan izlenmiştir.

Yapılan laboratuvar çalışmaları sonunda yaklaşık 64 el örneğinin manyetik durayılığa sahip olmadığı görülmüştür.

Elde edilen paleomağnetik veriler, Türkiye ve yakın çevresinin tektonik evrimide göz önüne alınarak yorumlanmıştır.

Her iki çalışma bölgесinden elde edilen karakteristik mıknatıslanma doğrultularının sapma açıları yaklaşık 30° , eğim açıları yaklaşık 14° birbirinden farklı bulunmuştur. KATF'nin güney bloğunun bağlı olduğu levhanın saat ibserinin tersi yönünde 30° - 35° döndüğü saptanmıştır.

Çalışma bölgelerinin kuzeye hareket ederek bugünkü yerlerini aldıkları sonucuna varılmış ve elde edilen kutup pozisyonları civar ülkelerin kutup pozisyonları ile karşılaştırılarak; Mesudiye bölgесinin bağlı olduğu levhanın Avrupa'ya göre saat ibserinin tersi yönünde 15° - 20° , İmranlı bölgесinin bulunduğu levhanın yine Avrupa'ya göre aynı yönde 40° - 45° döndüğü saptanmıştır.

ABSTRACT: In this study, 124 hand samples at Ordu-Mesudiye and 40 samples at Sivas-İmranlı regions have been collected from Eocene volcanic rocks. These samples are from the north and the south parts of this portion of the North Anatolian transform fault (NATF).

All specimens obtained from these hand samples are cleaned by alternating magnetic field and the progress of the cleaning has been followed from the variation of the moment curves as well as Wulff and Orthogonal projections. After all, it is seen that 64 hand samples are magnetically unstable.

The obtained paleomagnetic data are interpreted by taking into account the tectonic evolution of Turkey and its surrounding area.

The declination and inclination of the mean characteristic directions of these two regions are found to be different about 30° and 14° respectively. So, it is determined that the plate which belongs to the south block of the NATF has rotated 30° - 35° counter clock-wise.

It has been reached the conclusion that today positions of the studied area, is the result of northern movement of these regions. As a result, the obtained pole positions are compared with the pole positions from neighbourhood countries and it is found that Mesudiye region has been rotated 15° - 20° counter clock-wise and İmranlı region 40° - 45° counter clock-wise sense with respect to Europe.

1. GİRİŞ

Bir levha sınırı olduğu bilinen Kuzey Anadolu transform fayı (KATF) Türkiye'nin tektonik yapısının en belirgin özelliklerinden biridir. KATF'nin oluş zamanının

ve jeolojik geçmişte geçirdiği tektonik hareketlerin iyi bilinmesi sonucu, Türkiye tektoniğinin daha iyi anlaşılacağı görüşünde birleşen araştırmacılar, KATF'nı çeşitli yönlerden, çeşitli yöntemlerle incelemiştir.

Bu görüşten hareket edilerek Türkiye'nin tektonik evrimine ışık tutmağa ve jeolojik çalışmalarla birlikte açıklamaya yönelik bu çalışmada; KATF'nin kuzey ve güney bloklarının birbirine ve bu iki blokun bağlı olduğu lehvaların komşu lehhalara göre durumunu araştırmak amacıyla çalışma bölgeleri KATF'nin iki ayrı bloku üzerinde alınmıştır.

Türkiye tektonini açıklamaya yönelik ilk paleomanyetik çalışma Gregor ve Zijderveld (1964) tarafından Amasra bölgesinden toplanan Permiyen yaşı kırmızı kumtaşları ile yapılmıştır. Daha sonraları Van der Voo (1966), Doğu Anadolu'dan topladığı Jura, Kretase ve Eosen yaşlı volkanik ve tortul kayaçlarla ve Orbay (1976), KATF boyunca topladığı Kretase ve Eosen yaşlı volkanik kayaçlarla aynı amaçla yönelik paleomanyetik çalışmalar yapmışlardır. Yine Sanver ve Ponat (1980), Kırşehir masifinin kuzeyinde bulunan üst Kretase ve Eosen mağmatikleri ile bu yönde bir paleomanyetik çalışma yapmışlardır.

Van der Voo ile Sanver ve Ponat'ın Eosen örnek bölgeleri KATF'nin güneyinde bulunmaktadır. Orbay ise Eosen örneklerinin az sayıda olduğunu ve sonuçların şüpheli olabileceğini vurgulamıştır.

Yukarıda görüldüğü gibi bugüne dek Türkiye'de yapılan paleomanyetik çalışmalarda Eosene ait, KATF'nin iki blokunda kapsayan geniş bir çalışma yapılmamıştır. Bu nedenle çalışma yaşı Eosen olarak seçilmiştir. Çalışma bölgeleri, KATF'nin kuzeyinde bulunan Ordu ilinin Mesudiye ilçesi ile fayın güneyinde bulunan Sivas ilinin İmranlı ilçesi almıştır (Şekil 1). Örnek bölgeleri tüm KATF boyunca en iyi karşılıklı Eosen örnekleri veren bölgelerdir (K. Tütüncü ile sözlü görüşme, 1978) ve ayrıca bölgelerin jeolojisi MTA Enstitüsü tarafından incelenmiştir.

2. ÇALIŞMA BÖLGELERİNİN JEOLOJİSİ

a) Mesudiye Bölgesi

Bölgede üst Kretase, Eosen ve Eosen'den genç birimler görülmektedir (Şekil 2).

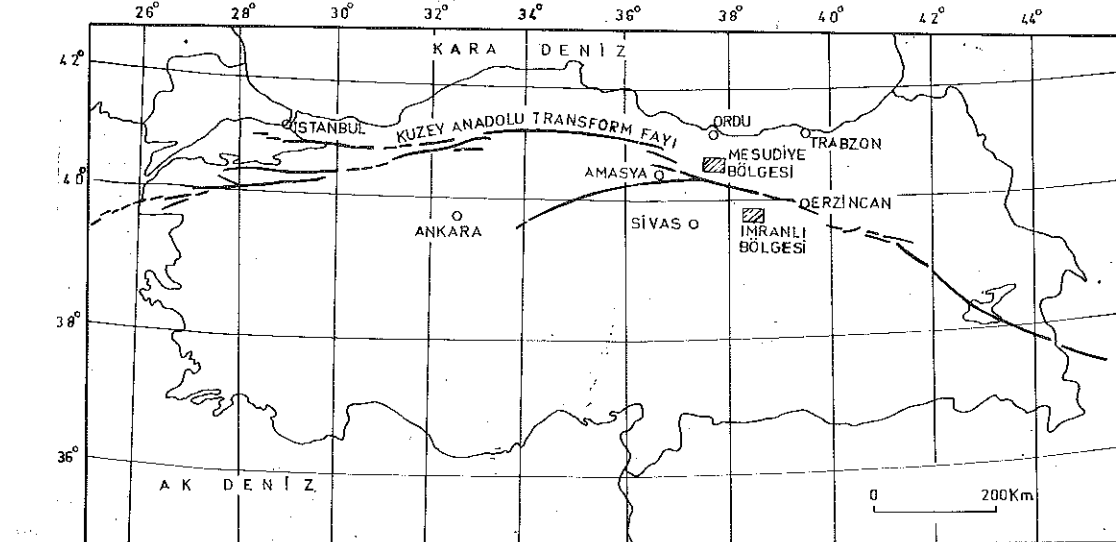
Aglomera, bazik akıntı, kireçtaşları ve kumtaşı'ndan oluşan üst Kretase yaşı kayaçlar, tipik olarak Mesudiye ve yöresinde mostra verdiğiinden, bu formasyon, "Mesudiye Formasyonu" olarak adlandırılmıştır. Bazı kesimlerde, bu formasyon içinde biri kumtaşı-tüf, diğeride kireçtaşları şeviden oluşan iki üye ayırtlanabilirsede, çoğu yerde böyle bir ayırım olanaksızdır.

"Yeşilce Formasyonu" adı verilen ve Eosen yaşı kayaçlardan oluşan bir diğer formasyon, Mesudiye formasyonu üzerinde onuna açısal diskordans yapacak şekilde uzunmakta ve tipik olarak görüldüğü Yeşilce civarında kalınlığı 145 metreyi bulmaktadır.

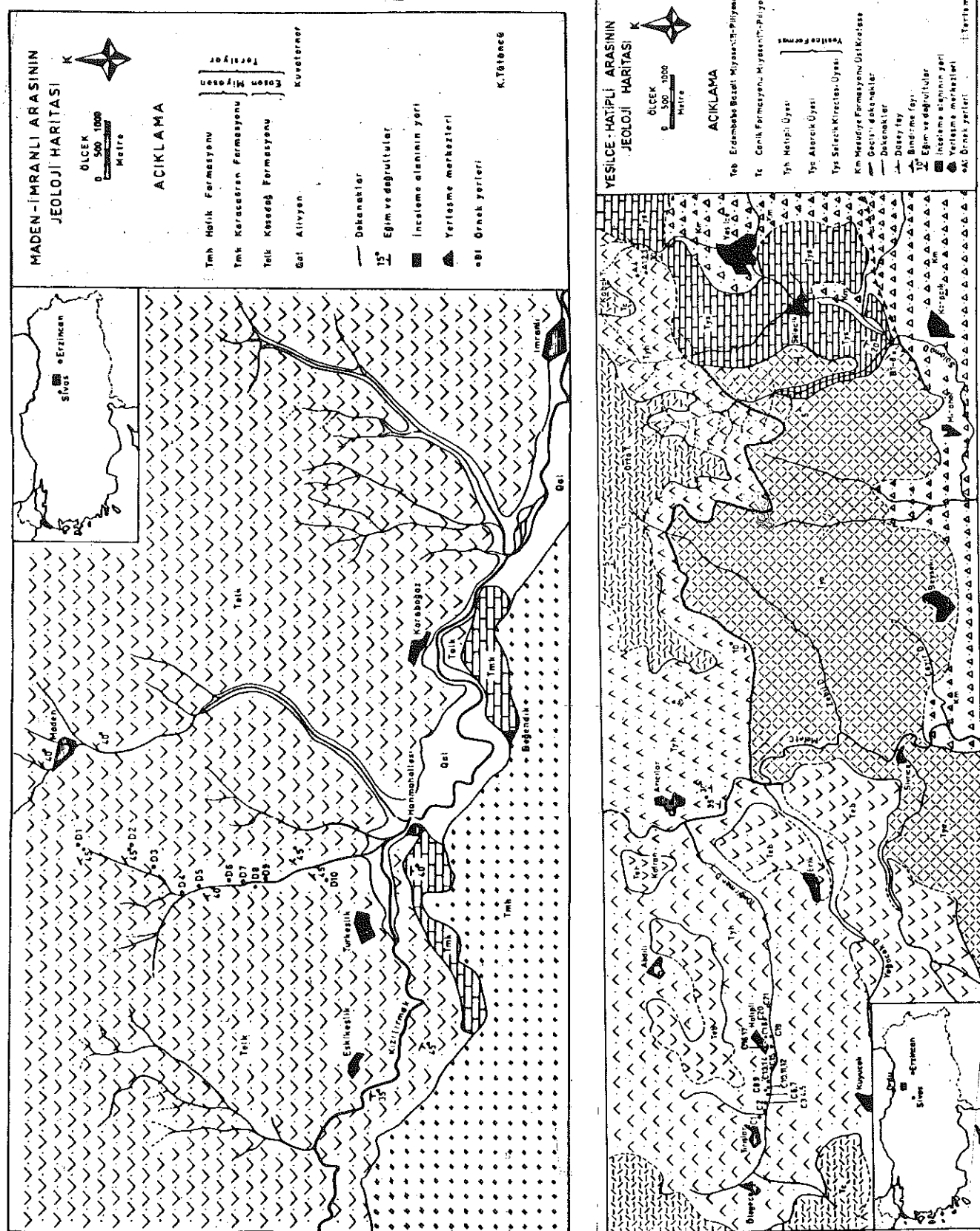
Selecik Kireçtaş Üyesi: Gri, kirli sarı renkli; orta-kalın tabaklı, bol fosilli olan bu üye, Mesudiye Formasyonu üzerinde onunla açısal diskordans yapacak şekilde uzunmaktadır. Bu formasyon içinde üç üye ayırtlanmış olup bunlar alttan üste aşağıdaki gibi tertiplenmektedir. Asarcık Üyesi: Egemen olarak aglomera, nadiren de kumtaşı, tüf ve bazik akıntı ara tabakalarından oluşan bu üye, tipik olarak Asarcık köyü civarında görülür. Bazı yerlerde, Selecik üyesi ile dereceli; bazı yerlerde de Hatipli üyesiyle yanal geçiş göstermektedir.

Hatipli Üyesi: Tipik olarak Hatipli mahallesinde görülen, kumtaşı ve aglomeranın ardalanma gösterdiği, ayrıca tüfik ve bazik akıntı ara tabakalarından oluşan bir üyedir.

Bölgede Mesudiye ve yeşilce formasyonlarından



Şekil 1—Örnek toplanan bölgeler.



başka biri "Canik Formasyonu" diğeri de "Erdembaba Bazaltı" olarak adlandırılan iki birim daha ayırtlanmıştır. Bunlar, Eosen'den genç olan kayaçları temsil etmektedirler.

Genellikle siyah-koyuyeşil, koyugri ve siyahumsı mor renkli, badem yapılı ve boşluklu, ojit-olivin bazalttan oluşan "Canik Formasyonu" Canik dağı silsilesinde tipik olarak görülmektedir. Bu formasyon bazen aglomera özelliklerine sahip olup, ayrılmış kısımları andezit görünümündedir. Adı geçen formasyonun üst Kretase yaşı birimlere diskordan olduğu görülmekte ise de, Eosen'e ait birimlerle aynı özelliği belirleyebilecek bir veriye rastlanmamıştır. Kalınlığı 50 ile 400 metre arasında değişen bu formasyonun yaşı, büyük bir olasılıkla Miyosen (?)-Pliyosen'dir.

Kelkit Vadisi Kuzey yamacındaki Erdembaba Telesi'nde tipik olarak görülen, mat siyah renkli, oldukça sert, soğuma sütunları gösteren bazaltlar, "Erdembaba Bazaltı" adı verilen bir birim oluştururlar. Ojit-olivin bazalt türündeki bu kayaçlar, üst Kretase ve Eosen yaşı birimlere açısal diskordandırlar. Ayrıca, Eosen yaşı yeşilce formasyonun Hatipli üyesi içinde, bu bazaltların dayk ve silleri de gözlenmiş olup bunlarda Canik formasyonu gibi, Eosen'den genç birimler olarak düşünülmektedir (Terlemez ve Yılmaz, 1973-74).

b) İmrانlı Bölgesi

Bu bölgede üç ayrı formasyon ayırtlanmıştır (Şekil 2) Bunlardan en yaşlısı "Kösedag Formasyonu" olup, Maden'in batısındaki Kösedağ'da görülür. Bu formasyon serpentinler üzerinde, bazı yerlerde kilçimentolu bir çakıltası ile başlar, Eosen kırıntıları ve serpentin çakılları içerir. İçindeki nümmilitlerden, bu formasyonun yaşı Lütiesyen olarak belirlenmiştir. Bu formasyonda, tabandan yukarı doğru ofiolitik malzemeden oluşmuş kireçli ve silisifiye ara tabakalarının ardalanmasıyla oluşan hakim litoloji, çok kalın olmayan taban kırıntıları üzerinde yer alır. Bu ardalanma içinde yer yer kilitası ve bol volkanik elemanlı kumtaşı ara tabakaları da gözlenebilir. Aglomera, akıntı tuf ve tüfit ardalanmasındaki hakim kaya bazaltdır. Andezit ve andezitik tüsler ikincildir.

İkinci formasyon "Karacaören Formasyonu"dur. Kösedag formasyonundan daha genç bir birim olup kireçtaşısı, marn, kumtaşı ve seyl ardalanmasından oluşmuştur. Kirli sarı-bej renkli, orta kalın tabakalı, bol fosilli bir formasyondur. Gerek makro ve gerekse mikro fosillerden yaşının alt Miyosen (Akitanien-Burdigalien) olduğu saptanmıştır.

Bölgede en genç formasyon olarak "Hafik Formasyonu" ayırtlanmıştır. Bu formasyon, genellikle beyaz ve açıkgrı-füme renkli, masif ve tabakalı, yer yer kırmızı ve yeşil kil mercek ve kamaları içeren jipslerden oluşmaktadır. Alt seviyelerde alacalı kumtaşı, siltası, çakıltası tabakalarıyla, bunlarla aratabaklı ve yanal geçişli jips tabakaları

bulunur. Bazen küçük ve ince mercekler halinde alacalı kumtaşı, siltası ve çakıltası tabakaları ardalanmasına rastlanır. Yer yer çapraz tabakalı gözüken kumtaşları hakim kaya türünü oluşturur (Tütüncü ve diğerleri, 1973-74).

3. YÖNTEM

Bu çalışma için örnek toplama esaslarına uygun şekilde sahadan toplam 164 el örneği (hand sample) toplanmıştır. Her kayaç biriminden (site), kayaç birimin kalıcı mıknatıslanma doğrultusunun istatistik açıdan tam temsil edilebilmesi için en az üç el örneği alınmıştır. Örneklerin yönlendirilme işlemleri güneş pusulası ile yapılmıştır.

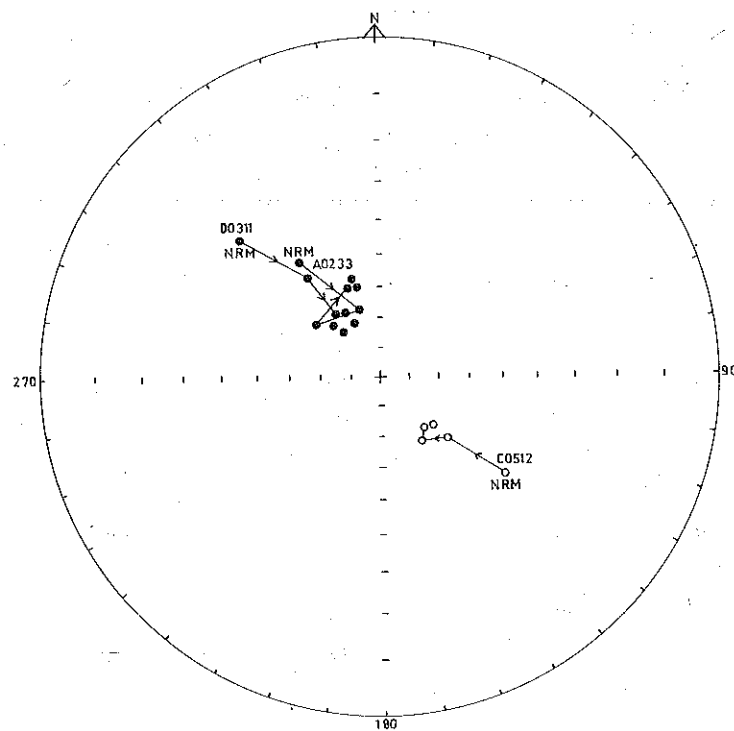
Laboratuvara her el örneğinden yine istatistik açıdan en az üç ölçü örneği (specimen) hazırlanmıştır. Silindir şeklinde hazırlanan ölçü örneklerinin çapı 2 cm, yüksekliği 1.8 cm'dir. Bu boyutlar demanyetizasyon şartına (Sharma, 1965) ve laboratuvarımızdaki ölçü aygıtlarına uygun şekildedir.

Manyetik temizleme (Manyetik yıkama) işlemi alternatif manyetik alanla yapılmıştır. Örneklerin manyetik duraylılığı ve ikincil (parasitik) mıknatıslanmalardan temizlenişi zamandan kazanmak amacıyla her el örneğinden seçilen bir ölçü örneğinde (pilot ölçü örneği) incelenmiştir. Her pilot örneğe adım adım 58, 134, 192, 289, 384, 480, 575, 767 ve 950 örssted alternatif manyetik alan uygulanmıştır (ölçü örneğinin kalıntı mıknatıslanmasının özgürlüğine göre bu değerler değiştirilmiştir). Her adım sonunda fluxgate tipi manyometre (miliörsted metre) ile örneklerin kalıntı mıknatıslanma vektörlerinin x, y ve z bileşenlerinin şiddetleri ölçülmüş ve doğrultuları bulunmuştur.

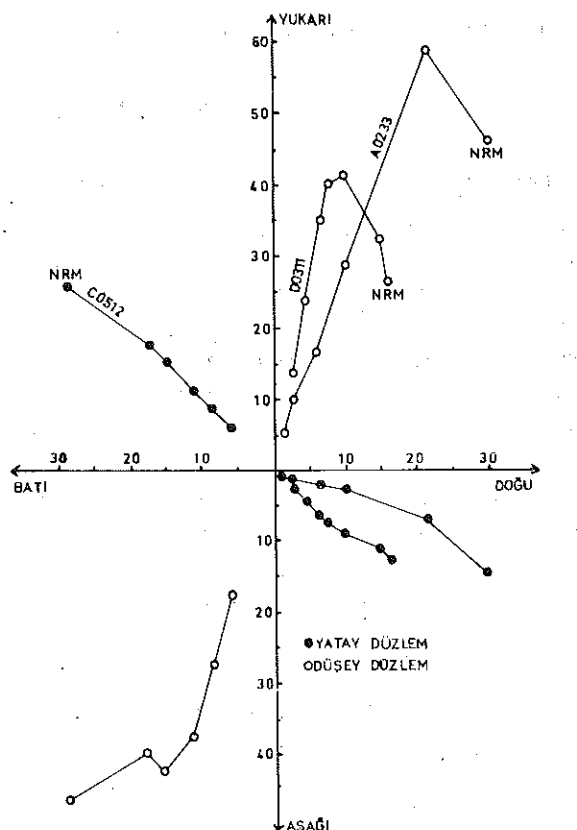
Pilot örneklerin manyetik duraylılığı ve ikincil mıknatıslanmalardan temizlendiği manyetik alan değeri; kalıntı mıknatıslanma vektörünün Wulff ve Ortogonal projeksiyondaki davranış ile kalıntı mıknatıslanmanın moment değişim eğrisi izlenerek saptanmıştır. Şekil 3 ve Şekil 4 alternatif manyetik alanda temizlenen üç ayrı pilot örneğin kalıntı mıknatıslanma vektörlerinin doğruluğu değişimlerini Wulff ve Ortogonal projeksiyonda göstermektedir.

Şekil 5'de ise aynı örneklerin moment değişim eğrileri görülmektedir. El örneklerinin diğer ölçü örnekleri saptanan bu manyetik alanlarda temizlenmiştir.

El örneklerinin, kayaç birimlerinin ve bölgelerin ortalama doğrultularının ve ilgili istatistik parametrelerinin hesabında Fisher istatistiği kullanılmıştır. Her kayaç biriminin ortalama mıknatıslanma doğrultularının herbiri tektonik düzeltme uygulanmış ve paleomanyetik kutup pozisyonları bulunmuştur. Ölçü işlemleri sonunda 64 el örneğinin manyetik duraylığa sahip olmadıkları görülmüş ve değerlendirmeye katılmamışlardır.



Şekil 3—Bazı pilot örneklerin alternatif alan ile temizlenmesi sırasında sahip oldukları kalıcı mıknatıslanma vektörlerinin Wulff projeksiyonundaki değişimleri. İçi dolu noktalar normal alan, içi boş noktalar ters alan doğrultularını gösteriyor (eksenler 10^{-5} e.m.b. ile çarpılmalı).



Şekil 4—Bazı pilot örneklerin alternatif alan ile temizlenmesi sırasında sahip oldukları kalıcı mıknatıslanma vektörlerinin Ortogonal projeksiyondaki değişimleri (eksenler 10^{-5} e. m. b. ile çarpılmalı).

Çizelge 1. Mesudiye Bölgesi kayaçlarından elde edilen ortalama alan doğrultuları ve ortalama paleomanyetik kutup pozisyonları⁽¹⁾.

| KOD | N | D | I | Tektonik Düzeltmeden Önce | | | Tektonik Düzeltmeden Sonra | | | Kutup Pozisyonu | | | | | | |
|------------------------|---|------|------|---------------------------|------|--------|----------------------------|---------------|-------|-----------------|--------|---------------|-------|--------|---------------|-------|
| | | | | θ_{95} | k | D | I | θ_{95} | k | D | I | θ_{95} | Enlem | Boylam | θ_{95} | |
| AO1 | 4 | 359° | 60° | 17° | 15 | 356° | 57° | 6° | 100 | 359° | 48° | 9°.6 | 71 | 76° N | 127°W | 6°.2 |
| AO2 | 4 | 349° | 60° | 9° | 53 | 337° | 65° | 8° | 64 | 338° | 55° | 8°.6 | 65 | 72° N | 58°W | 6°.2 |
| AO3 | 4 | 330° | 72° | 16° | 18 | 349° | 58° | 7° | 86 | 359° | 52° | 7°.4 | 89 | 80° N | 151°W | 8°.5 |
| AO6 | 4 | 23° | 69° | 18° | 13 | 334° | 50° | 8° | 75 | 346° | 41° | 8° | 75 | 70° N | 103°W | 6°.0 |
| CO9 | 4 | 60° | 65° | 21° | 10 | 39° | 62° | 8° | 64 | 350° | 54° | 8°.5 | 64 | 80° N | 83°W | 9°.9 |
| C13 | 4 | 356° | 61° | 6° | 122 | 358° | 63° | 3° | 355 | 342° | 47° | 3°.7 | 346 | 71° N | 86°W | 3°.2 |
| C14 | 4 | 334° | 66° | 6° | 125 | 335° | 70° | 1° | 5663 | 326° | 52° | 1° | 5618 | 61°.5N | 59°W | 1° |
| ORT. | 7 | — | — | — | — | 353°.9 | 62°.0 | 8°.8 | 47°.2 | 346° | 5°.3 | 6°.6 | 83° | 75°N | 87°W | 8.2 |
| TERSI MIKNATISLANMALAR | | | | | | | | | | | | | | | | |
| CO5 | 4 | 161° | -65° | 13° | 25 | 149° | -65° | 12° | 33 | 163° | -53° | 16°.5 | 24 | 72° N | 116°W | 13°.9 |
| CO6 | 4 | 36° | -58° | 15° | 19 | 133° | -53° | 6° | 130 | 145° | -42° | 5°.7 | 148° | 57° N | 110°W | 5°.6 |
| C15 | 4 | 126° | -72° | 1° | 6966 | 153° | -72° | 2° | 1357 | 188° | -65° | 2° | 1287 | 81° N | 104°W | 2°.7 |
| C16 | 4 | 175° | -28° | 8° | 73 | 187° | -30° | 13° | 28 | 191° | -19° | 13° | 27 | 79° N | 191°W | 13°.6 |
| C17 | 4 | 218° | 66° | 3° | 413 | 194° | -61° | 0°.5 | 16841 | 206° | -50° | 0°.5 | 14979 | 66° N | 45°W | 0°.5 |
| C19 | 4 | 194° | 52° | 4° | 196 | 155° | -57° | 1° | 1684 | 176° | -52° | 1° | 4918 | 82° N | 62°W | 1°.5 |
| C20 | 4 | 196° | 34° | 20° | 11 | 189° | -44° | 2°.5 | 750 | 203° | -28° | 2°.6 | 717 | 57° N | 70°W | 2°.5 |
| C21 | 4 | 187° | -28° | 2° | 709 | 191° | -37° | 1° | 4401 | 202° | -37° | 1° | 4479 | 54° N | 78°W | 0°.9 |
| ORT | 8 | — | — | — | — | 173° | -54°.4 | 14° | 16°.4 | 185°.7 | -45°.1 | 15° | 14°.4 | 71°.8N | 88°W | 11°.8 |

¹ Çizelge'de N: Ortalaması alınan el örneği sayısını, D ve I: Ortalama alanın sapma ve eğim açılarını, θ_{95} : Emniyet çemberinin yarı çapını, k:精度 parametresini göstermektedir.

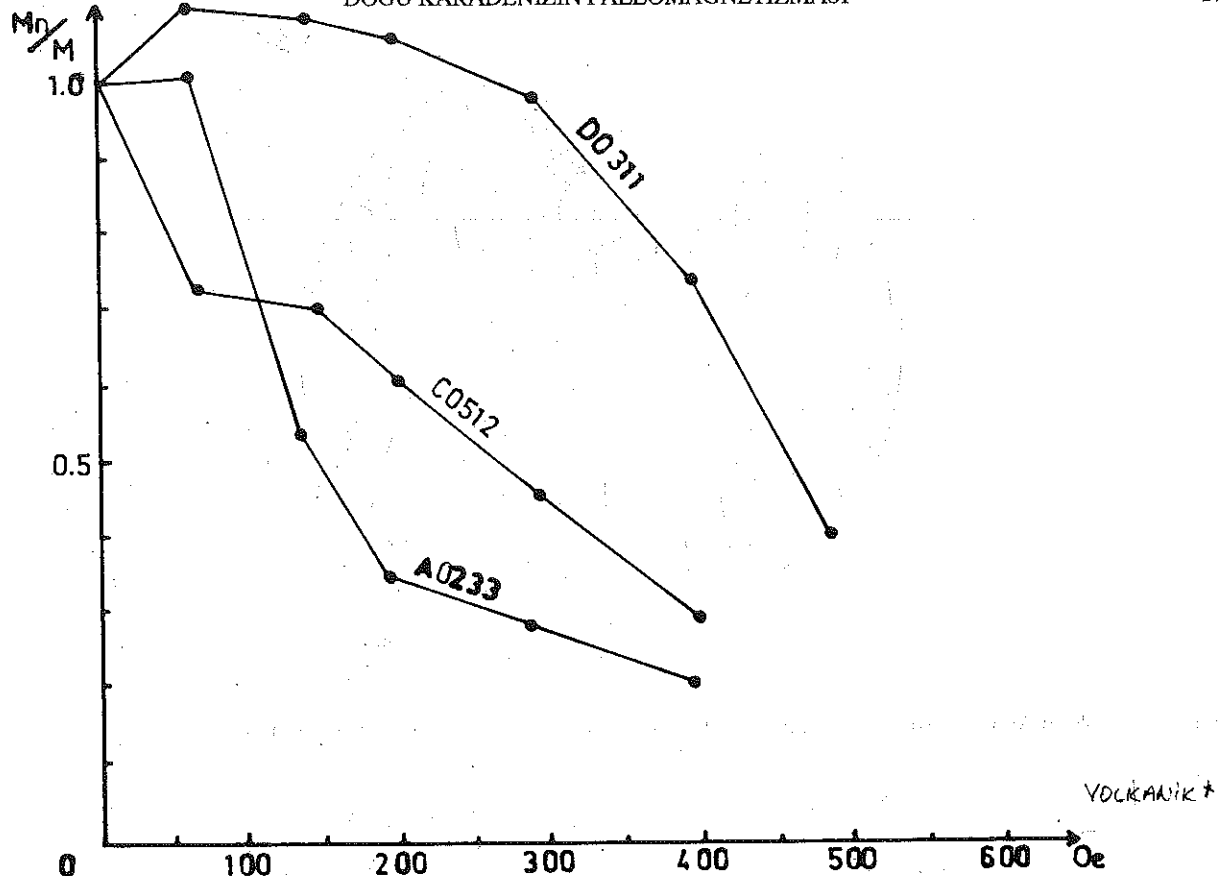
Çizelge 2. İmralı Bölgesi kayaçlarından elde edilen ortalama alan doğrultuları ve ortalama paleomanyetik kutup pozisyonları.⁽²⁾

| KOD | N | D | I | Tektonik Düzeltmeden Önce | | | Tektonik Düzeltmeden Sonra | | | Kutup Pozisyonu | | | | | | |
|-----|----|------|-----|---------------------------|------|--------|----------------------------|---------------|--------|-----------------|-------|---------------|-------|--------|---------------|------|
| | | | | θ_{95} | k | D | I | θ_{95} | k | D | I | θ_{95} | Enlem | Boylam | θ_{95} | |
| D01 | 4 | 338° | 4° | 1° | 9871 | 343° | 63° | 2°.6 | 686 | 331° | 19° | 2°.8 | 605 | 50° N | 94°W | 1°.5 |
| D02 | 4 | 341° | 5° | 2° | 679 | 346° | 65° | 1° | 6281 | 332° | 23° | 1° | 5400 | 52° N | 93°W | 0°.6 |
| D03 | 4 | 320° | 51° | 1°.5 | 2128 | 321° | 75° | 0°.5 | 16684 | 321° | 30° | 0°.6 | 13155 | 48° N | 75°W | 0°.4 |
| D04 | 4 | 350° | 53° | 2° | 999 | 340° | 83° | 0°.6 | 13417 | 323° | 38° | 0°.7 | 7982 | 54° N | 72°W | 0°.5 |
| D05 | 4 | 347° | 53° | 1° | 6533 | 340° | 79° | 0°.5 | 16677 | 333° | 38° | 0°.7 | 8848 | 61° N | 82°W | 0°.4 |
| D06 | 4 | 349° | 43° | 3° | 424 | 346° | 77° | 2° | 1140 | 336° | 36° | 2°.5 | 738 | 61° N | 86°W | 1°.5 |
| D07 | 4 | 339° | 51° | 3° | 554 | 334° | 79° | 0°.5 | 28631 | 331° | 34° | 0°.5 | 38193 | 57° N | 84°W | 0°.4 |
| D08 | 4 | 37° | 49° | 9° | 55 | 335° | 76° | 2°.6 | 698 | 318° | 37° | 3° | 571 | 49° N | 68°W | 2°.2 |
| D09 | 4 | 313° | 61° | 5° | 193 | 294° | 81° | 0°.7 | 9332 | 307° | 42° | 1° | 5527 | 43° N | 55°W | 0°.7 |
| D10 | 4 | 346° | 51° | 1° | 2794 | 342° | 80° | 0°.5 | 14405 | 325° | 42° | 0°.6 | 13709 | 56° N | 72°W | 0°.6 |
| ORT | 10 | — | — | — | — | 336°.7 | 76°.1 | 4°.4 | 118°.1 | 326°.1 | 34°.1 | 6°.2 | 60 | 53°.7N | 77°.4W | 5°.7 |

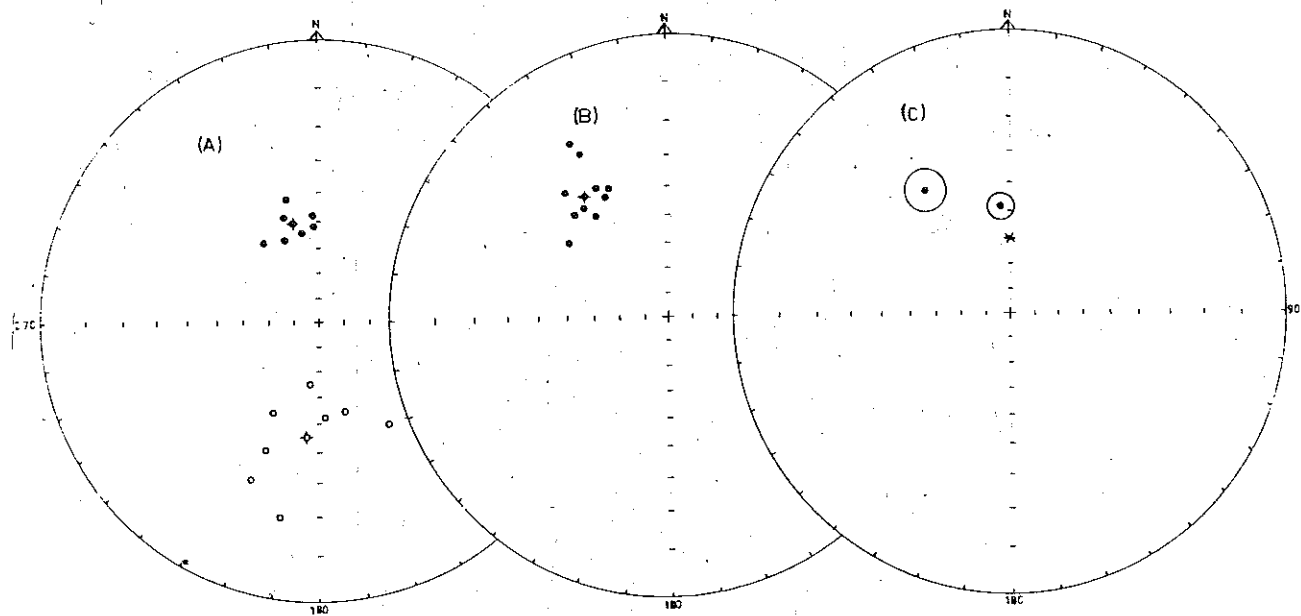
² Kullanılan semboller çizelge 1'de açıkladığı gibidir.

Çizelge 3. Avrupa, Afrika ve çalışma bölgelerinin paleomanyetik kutup pozisyonları.

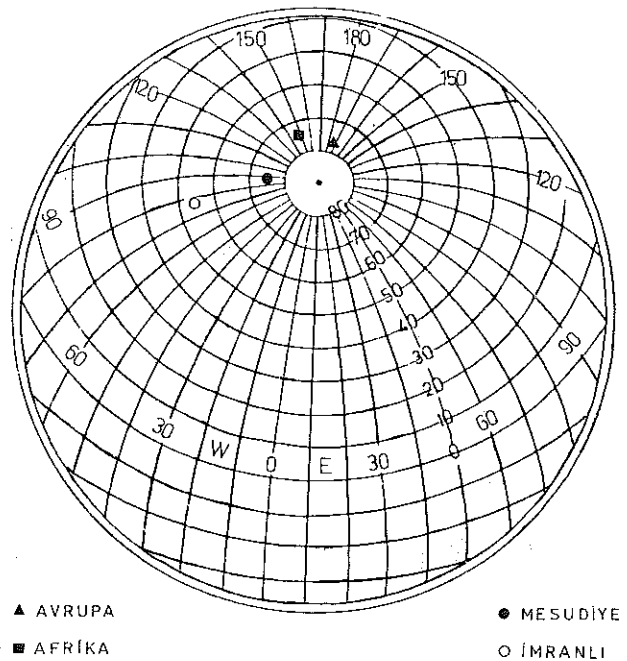
| Yer | Enlem | Boylam | θ_{95} | Kaynak |
|----------|--------|----------|---------------|--------------------------|
| Avrupa | 78°.6N | 172°.3 E | — | Van der Voo-R. B. French |
| Afrika | 75°.4N | 211°.7E | — | Van der Voo-R. B. French |
| Mesudiye | 73°.3N | 87°.8 W | 6°.7 | Bu çalışma |
| İmralı | 53°.7N | 77°.4W | 5°.7 | Bu çalışma |



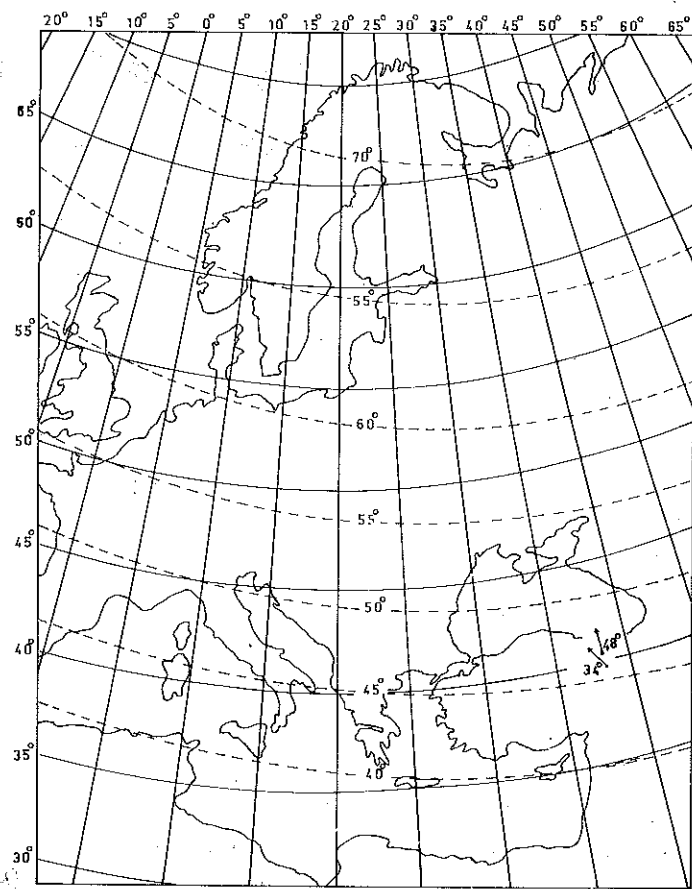
Şekil 5—Bazı pilot örneklerin alternatif alan ile temizlenmesi sırasında sahip oldukları moment değişim eğrileri



Şekil 6—Mesudiye bölgelerinden (A) ve İmralı bölgelerinden (B) elde edilen alan doğrultuları ile bu bölgelerden elde edilen ortalama alan doğrultuları ve bunlara ait θ_{95} emniyet çemberleri (C). İçi dolu noktalar normal alan, içi boş noktalar ters alan doğrultularını ve yıldız teorik alan doğrultusunu göstermektedir.



Şekil 7—Eosen'e ait Avrupa, Afrika ve bu çalışmada elde edilen kutup noktalarının projeksiyon üzerindeki yerleri



Şekil 8—Avrupa Eosen'inin paleoizoklinleri ve çalışma bölgelerinden elde edilen ortalama miknatışlanma doğrultuları. Düz çizgiler enlem ve boylamlı, kesik çizgiler paleoizoklinleri göstermektedir (D. Van Hiltén, 1964).

4. ELDE EDİLEN VERİLERİN DEĞERLENDİRİLMESİ

Çalışma sonucunda elde edilen veriler Çizelge 1 ve 2 ile Şekil 6'da verilmiştir. Bu veriler Türkiye'nin geçirmiş olduğu tektonik evrimlerde gözönünde bulundurularak değerlendirilmiştir ve aşağıdaki sonuçlara varılmıştır.

a) Kuzey Anadolu trasform fayının kuzeyinde bulunan Mesudiye bölgesinin ortalama mıknatışlanma doğrultusu (karma polarite) D: $356^{\circ}.8$, I: $48^{\circ}.0$ ve fayın güneyinde kalan İmranlı bölgesinin ortalama mıknatışlanma doğrultusu ise D: $326^{\circ}.1$, I: $34^{\circ}.1$ 'dir (Şekil 6 c). Görüldüğü gibi KATF'nin kuzey ve güneyindeki bölgelerden elde edilen ortalama mıknatışlanma doğrultuları farklıdır. Bu fark sapma açıları arasında yaklaşık 30° , eğim açıları arasında ise yaklaşık 14° kadardır.

Bu iki bölgelinin sapma açıları arasında saptanan bu fark, bölgelerin farklı iki levha üzerinde bulunduğu ve bu levhaların birbirlerine göre bağıl dönme hareketi yapmış olduklarını göstermektedir.

KATF'nin kuzeyinde Pontidler ve güneyinde ise Anatolidler yer almaktadır (Ketin, 1966). KATF bu iki tektonik birim arasında hemen hemen bir sınır teşkil etmektedir (Şengör, 1980). Bu iki tektonik kuşak arasında önceleri bir okyanus ortamı var olduğu bilinmektedir. Alt-orta Eosende Arap levhasının kuzeye hareketi sonucu Pontidlerle Anatolidler çarpışmış ve böylece sözkonusu okyanus ortamı ile birlikte okyanusal kabukta yok olmuş tur (Şengör ve Yılmaz, 1981). Mesudiye bölgesinin Pontidler, İmranlı bölgesinin Anatolidler üzerinde bulunmasından dolayı, Pontidlerle Anatolidlerin çarpışma olayı bu iki bölge arasında saptadığımız bağıl hareketi meydana getirmiştir olabilirler.

b) Yerin manyetik alanını oluşturan jeosentrik dipolun ekseni ile yerine dönme ekseni çıkışık alındığında (jeosentrik dipol eksene ile yerin dönme ekseni bütün jeolojik devirler boyunca çıkışık kabul edilir); çalışma bölgeleri için olması gereken "teorik alan doğrultusu"nın eğim açısı $I:60^{\circ}$ civarındadır. KATF'nun kuzey ve güneyindeki bölgelerden saptanan eğim açıları (Mesudiye bölgesi için I: $48^{\circ}.0$, İmranlı bölgesi için I: $34^{\circ}.1$), teorik alan doğrultusunun eğim açısından küçük bulunmuştur (Şekil 6c). Bu sonucu; çalışma bölgelerinden saptanan mıknatışlanmaların daha aşağı coğrafi enlemlerde oluşu ve daha sonra üzerinde bulunduğu levha ile birlikte kuzeye hareket ederek bugünkü yerlerini aldıları şeklinde düşünebilirsiniz.

c) Şekil 6c incelendiğinde, çalışma bölgelerinin bağlı olduğu levhaların saat ibresinin tersi yönünde bir dönme hacti yapmış oldukları görülmektedir. Eosen'den günümüze dek olan bu dönme hareketlerinin miktarı, jeosentrik dipol eksenine göre fayın güneyinde bulunan İmranlı bölgesi için $30^{\circ}-35^{\circ}$, fayın kuzeyinde bulunan Mesu-

diye bölgesi için ise $3^{\circ}-4^{\circ}$ dir. Ancak Mesudiye bölgesinin ortalama mıknatışlanma doğrultusunun eğim açısı, bölge için olması gereken "teorik alan doğrultusu"nın eğim açısından küçük çıkmazıdı, Mesudiye bölgesinin ortalama mıknatışlanma doğrultusu'nu içine alacaktı. Sözkonusu dönme hareketi olduğundan, eğim açılarındaki bu farklılığı gözönüne alırsak Mesudiye bölgesinin üzerinde bulunduğu levhanın bir dönme hareketi yaptığı söyleyemeyiz.

d) Şekil 7, çizelge 3'deki Avrupa ve Afrika ile Mesudiye ve İmranlı bölgeleri için saptanan Eosen'e ait ortalama paleomanyetik kutup pozisyonlarını göstermektedir. Şekil 7 incelendiğinde; Mesudiye bölgesinden elde edilen kutubun Avrupa ve Afrika kutuplarına yakın olduğu, İmranlı bölgesinden elde edilen kutubun ise diğer kutplardan dikkate değer olacak kadar farklı olduğu görülmektedir.

Şekil 8, Avrupa'nın Eosen'e ait paleoizoklinilerini göstermektedir. Şekilde, bölgelerden elde edilen sapma açılar küçük birer okla gösterilmiş ve eğim açıları da yanlarına yazılmıştır. Mesudiye bölgesinden elde edilen eğim açısı Avrupa paleoizoklini ile uyum göstermektedir. Sapma açısı ise saat ibresi yönünde $10^{\circ}-15^{\circ}$ dönmüş olduğunu göstermektedir. İmranlı bölgesinde elde edilen eğim açısı Avrupa paleoizoklininden yaklaşık 10° küçuktur. Sapma açısı saat ibresi yönünde $40^{\circ}-45^{\circ}$ çevrildiği taktirde Avrupa paleoizoklinine dik olabilmektedir. Bu sonuç imranlı bölgesinin üzerinde bulunduğu levhanın Avrupa'ya göre saat ibresinin tersi yönünde $40^{\circ}-45^{\circ}$ döndüğünü göstermektedir.

İmranlı bölgesinin eğim açısının Avrupa paleoizoklininden farklı olması, Avrupa'ya göre büyük bir dönme hareketi yapması ve kutup pozisyonunun diğer kutup pozisyonlarından farklı çıkması, bu bölgenin bulunduğu levhanın komşu levhalardan bağımsız, hareketli bir levha olduğunu göstermektedir.

TEŞEKKÜR

Yapılan bu çalışma, İ. Ü. Yerbilimleri Fakültesince kabul edilen doktora tezinin (Baydemir, N., 1982) özeti- dir. Bu çalışmamı yöneten, yardım ve önerilerde bulunan Sayın Hocam Prof. Dr. İhsan Özdoğan'a içtenlikle teşekkür ederim. Çalışma süresince bana çalışma olanağı sağlayan Sayın Doç. Dr. A. Mete Işıkara'ya, çalışmanın her safhasında yardımcı olan Sayın Doç. Dr. Naci Orbay'a, saha çalışmalarında yardımcı olan M. T. A. Enstitüsü jeologlarından Sayın Kayhan Tütüncü'ye ve daktilo yazım işlerini yapan Sayın Semra Yalnız'a ayrıca bu çalışmada emeği geçen bölüm arkadaşlarına teşekkür ederim.

Paleomanyetizma konusunda çalışmamı öneren ve bana bu konuda ilk bilgileri veren ve bugün aramızda olmayan rahmetli Hocam Doç. Dr. Yılmaz İspir'i saygıyla anarım.

YARARLANILAN KAYNAKLAR

- Gregor, C. B. and Zijderveld, J. D. A., 1964.** Paleomagnetism and the alpine tectonics of Eurasia, 1. The magnetism of some Permian red sandstones from northwestern Turkey. *Tectonophysics*, 1 (4): 289-306.
- Ketin, I., 1966.** Tectonic Units of Anatolia. *Bull. Mineral Res. Explor. Inst. Turkey*, 66: 23-34.
- Orbay, N., 1974.** Doktora Tezi., İ., İ. Ü. Fen Fak.
- Sanver, M. and Ponat, E., 1980.** Paleomagnetism of the Magnetic Rocks in Kırşehir and Surrounding Area., Kandilli Observatory, İstanbul.
- Sharma, P. V., 1965.** *Helv. Phys. Acta.*, 38:89-119.
- Şengör, A. M. C., 1980.** Türkiye'nin Neotektoniğinin Esasları. *Türkiye Jeol. Kurm. Konf. Ser. No. 2.*, s. 40.
- Şengör, A. M. C. and Yılmaz, Y., 1981.** Tethyan evolution of Turkey: A plate tectonic approach. *Tectonophysics*, 78: 181-241.
- Terlemez, İ., 1973-74.** Ünye-Ordu Bölgesi Jeolojisi. *Türkiye Jeo. Kurm. Bülteni.*, Vol . 23, sayı. 2, s. 179.
- Tütüncü, K. ve Diğerleri., 1973-74.** Sivas-Erzincan Arasındaki Sahanın Temel Jeolojik Etüdü. , M. T. A. Enstitüsü Arşivi.
- Van der Voo, R., 1968.** Paleomagnetism and the alpine tectonics of Eurasia, 4. Jurassic, Cretaceous and Eocene pole positions from northeastern Turkey. *Tectonophysics*, 6 (3): 251-269.
- Van der Voo, R. and French, R. B., 1974.** Apparent Polar Wandering for the Atlantic Bordering Continents: Late Carboniferous to Eocene. *Earth Science Reviews*, 10: 99-119.
- Van Hiltén, D., 1964.** Evaluation of some geotectonic hypotheses by paleomagnetism. *Tectonophysics*, 1: 3-71.